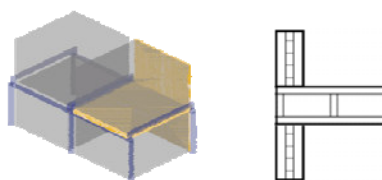
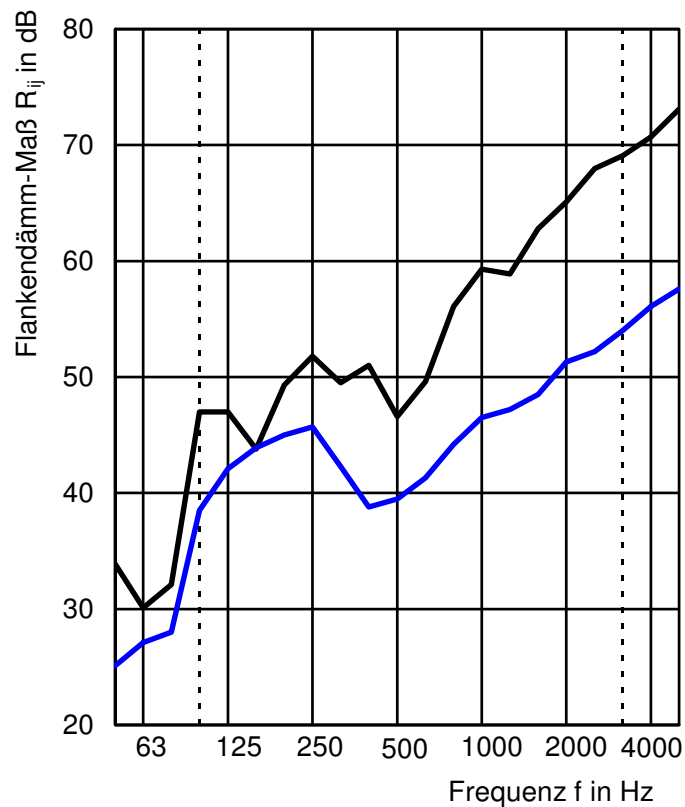


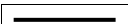

Vertikaler T-Stoß, Flanke durchstoßen

Aufbauvariante	2a_B_01	
Flanke (Wand)	80 mm BSP	$m' = 39 \text{ kg/m}^2$
Trennbauteil	200 mm Lignatur LFE	$m' = 40 \text{ kg/m}^2$
$m'_{\text{Wand}} / m'_{\text{Decke}}$	0,98	
Kopplungslänge	$l_{ij} = 5,0 \text{ m}$	
Bauteilfläche Trenndecke	$S_{Dd} = 20,0 \text{ m}^2$	
Bauteilfläche Flanke SR	$S_F = 13,5 \text{ m}^2$	
Bauteilfläche Flanke ER	$S_F = 13,5 \text{ m}^2$	
Empfangsraumvolumen	$V_E = 55,1 \text{ m}^3$	
Senderraumvolumen	$V_S = 55 \text{ m}^3$	

Bewertetes Flankendämm-Maß	$R_{Ff,w} = 56 \text{ dB}$
Bewertetes Flankendämm-Maß	$R_{Df,w}^* = 46 \text{ dB}$

f in Hz	X66 R_{Ff} in dB	X65 R_{Df} in dB
50	33,9	25,1
63	30,1	27,1
80	32,1	28,0
100	47,0	38,5
125	47,0	42,1
160	43,8	43,9
200	49,3	45,0
250	51,8	45,7
315	49,5	42,3
400	51,0	38,8
500	46,6	39,5
630	49,6	41,3
800	56,1	44,2
1000	59,3	46,5
1250	58,9	47,2
1600	62,8	48,5
2000	65,1	51,3
2500	68,0	52,2
3150	69,1	54,0
4000	70,7	56,1
5000	73,1	57,6

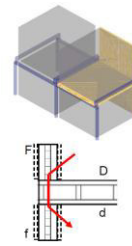


	Flankendämm-Maß R_{Ff}
	Flankendämm-Maß R_{Df}

Kopplungsgrößen Stoßtyp 2a_B, Übertragungsweg Ff:

Prüf.Nr.:	Flanke	Trenndecke	$\frac{m^2_{Wand}}{m^2_{Decke}}$
2a_B_01	80 BSP	200 LFE	0,98
2a_B_02	2x18 GF/140 BSP/2x18 GF	200 LFE	3,98

Abmessungen
$l_{ij} = 5,0 \text{ m}$
$S_{Dd} = 20,0 \text{ m}^2$
$S_F = 13,5 \text{ m}^2$
$S_I = 13,5 \text{ m}^2$



2a_B_01				2a_B_02					
f in Hz	$D_{v,Ff}$ in dB		\bar{x}	σ	f in Hz	K_{Ff} in dB		\bar{x}	σ
50	18,3	2,7	10,5		50	17,1	0,9	9,0	
63	17,0	8,5	12,8		63	15,5	5,6	10,6	
80	12,0	13,1	12,6		80	9,9	10,6	10,3	
100	15,6	14,7	15,2		100	12,7	10,9	11,8	
125	16,2	13,4	14,8		125	14,1	10,0	12,1	
160	19,3	12,6	16,0		160	16,3	7,7	12,0	
200	22,0	16,4	19,2		200	18,3	10,6	14,4	
250	23,1	20,0	21,6		250	19,9	15,0	17,5	
315	23,9	20,2	22,0		315	20,5	16,1	18,3	
400	24,9	20,5	22,7		400	23,4	17,6	20,5	
500	17,0	19,4	18,2		500	15,5	16,1	15,8	
630	18,7	21,1	19,9		630	17,5	18,3	17,9	
800	23,4	27,5	25,5		800	19,7	24,2	22,0	
1000	21,1	31,6	26,3		1000	17,0	28,1	22,5	
1250	20,3	33,4	26,9		1250	16,5	30,9	23,7	
1600	22,9	32,7	27,8		1600	20,2	31,0	25,6	
2000	21,4	36,5	28,9		2000	18,6	34,7	26,6	
2500	20,8	40,0	30,4		2500	17,7	37,7	27,7	
3150	26,7	43,1	34,9		3150	23,9	41,2	32,5	
4000	26,9	44,8	35,8		4000	25,4	43,3	34,3	
5000	29,8	49,5	39,7		5000	29,4	48,3	38,8	
$D_{v,Ff,n}$	17,3	19,0	18,2		K_{Ff}	18,7	19,6	19,2	

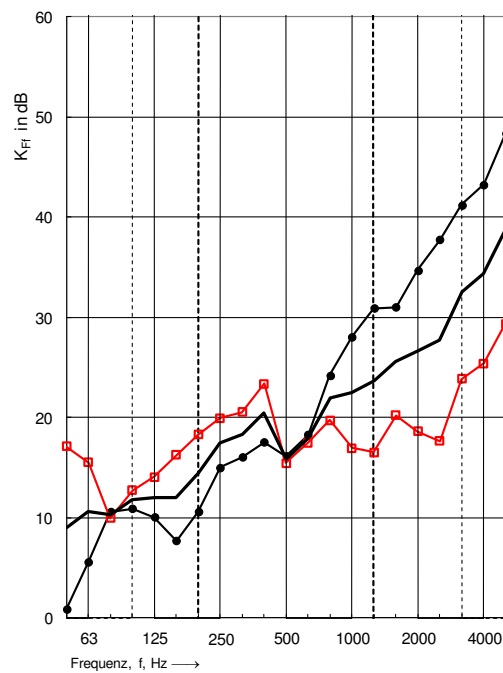
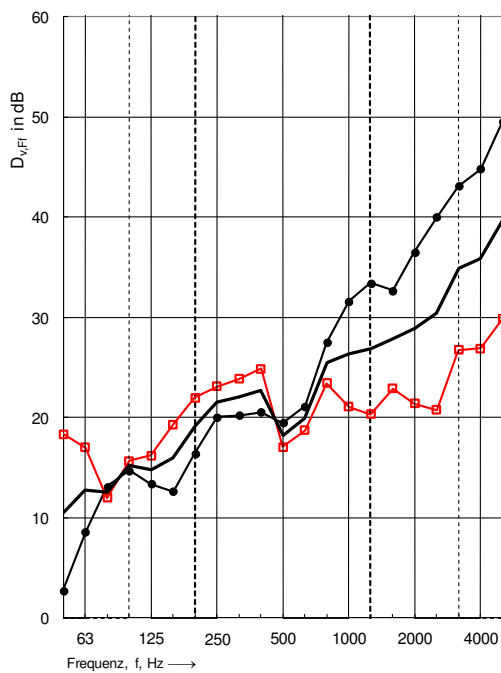
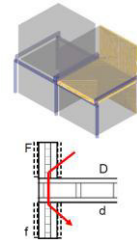


Abbildung 55 $D_{v,ij}$, K_{ij} : Vertikaler T-Stoß – Hohlkastendecke, Flanke z.T. mit Beplankung: Messdaten $D_{v,Ff}$ mit zugehörigen Messkurven (links); Messdaten K_{Ff} mit zugehörigen Messkurven (rechts)



Gesamt Verlustfaktoren der Stoßbauteile, Stoßtyp 2a_B, Übertragungsweg Ff:

Prüf.Nr.:	Flanke	Trenndecke	$\frac{m^2_{Wand}}{m^2_{Decke}}$	Abmessungen
2a_B_01	80 BSP	200 LFE	0,98	$l_{ij} = 5,0 \text{ m}$
2a_B_02	2x18 GF/140 BSP/2x18 GF	200 LFE	3,98	$S_{Dd} = 20,0 \text{ m}^2$
				$S_F = 13,5 \text{ m}^2$
				$S_I = 13,5 \text{ m}^2$



2a_B_01				2a_B_02					
f in Hz	$\eta_{tot,F}$		\bar{x}	σ	f in Hz	$\eta_{tot,f}$		\bar{x}	σ
50	0,077	0,082	0,080		50	0,070	0,093	0,081	
63	0,074	0,092	0,083		63	0,071	0,110	0,090	
80	0,059	0,071	0,065		80	0,089	0,095	0,092	
100	0,103	0,106	0,105		100	0,062	0,090	0,076	
125	0,048	0,060	0,054		125	0,073	0,102	0,088	
160	0,061	0,072	0,066		160	0,069	0,138	0,103	
200	0,065	0,083	0,074		200	0,070	0,148	0,109	
250	0,051	0,066	0,059		250	0,055	0,103	0,079	
315	0,050	0,052	0,051		315	0,049	0,068	0,058	
400	0,026	0,031	0,029		400	0,031	0,053	0,042	
500	0,029	0,029	0,029		500	0,023	0,053	0,038	
630	0,024	0,028	0,026		630	0,019	0,034	0,027	
800	0,032	0,026	0,029		800	0,036	0,036	0,036	
1000	0,035	0,028	0,031		1000	0,032	0,030	0,031	
1250	0,024	0,018	0,021		1250	0,032	0,023	0,028	
1600	0,018	0,015	0,017		1600	0,019	0,015	0,017	
2000	0,016	0,013	0,015		2000	0,018	0,014	0,016	
2500	0,016	0,013	0,015		2500	0,017	0,015	0,016	
3150	0,012	0,009	0,011		3150	0,016	0,014	0,015	
4000	0,010	0,008	0,009		4000	0,008	0,011	0,009	
5000	0,007	0,006	0,007		5000	0,006	0,009	0,008	

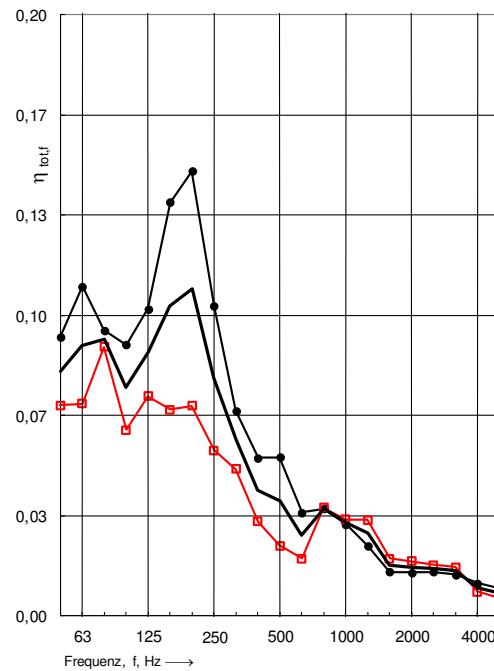
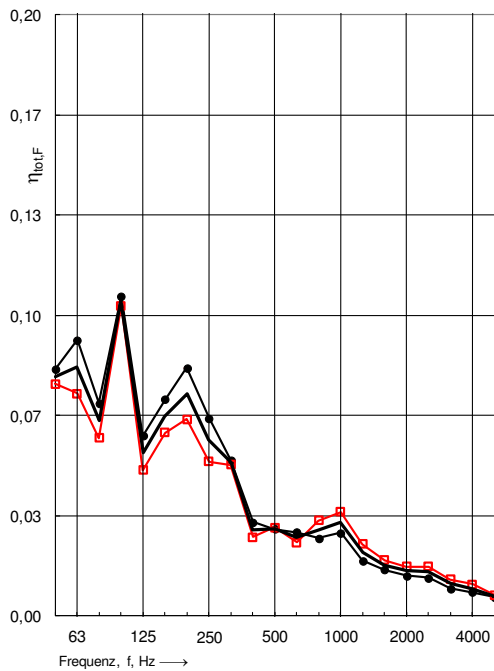
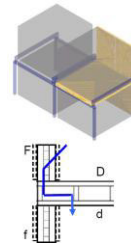


Abbildung 56 η_{tot} : vertikaler T-Stoß – Hohlkastendecke, Flanke z.T. mit Beplankung: Messdaten $\eta_{tot,F}$ mit zugehörigen Messkurven (links); Messdaten $\eta_{tot,f}$ mit zugehörigen Messkurven (rechts)

Kopplungsgrößen Stoßtyp 2a_B, Übertragungsweg Fd:

Prüf.Nr.:	Flanke	Trenndecke	$\frac{m^2_{Wand}}{m^2_{Decke}}$
2a_B_01	80 BSP	200 LFE	0,98
2a_B_02	2x18 GF/140 BSP/2x18 GF	200 LFE	3,98

Abmessungen
$l_{ij} = 5,0 \text{ m}$
$S_{Dd} = 20,0 \text{ m}^2$
$S_F = 13,5 \text{ m}^2$
$S_I = 13,5 \text{ m}^2$



2a_B_01				2a_B_02					
f in Hz	$D_{v,Fd}$ in dB		\bar{x}	σ	f in Hz	K_{Fd} in dB		\bar{x}	σ
50	8,9	1,5	5,2		50	8,2	-1,0	3,6	
63	11,3	3,5	7,4		63	9,2	0,8	5,0	
80	7,8	4,2	6,0		80	5,5	1,5	3,5	
100	6,6	6,8	6,7		100	3,7	2,8	3,2	
125	3,9	3,6	3,8		125	1,2	1,1	1,2	
160	8,6	5,2	6,9		160	6,2	1,8	4,0	
200	10,6	5,3	7,9		200	8,4	1,4	4,9	
250	12,8	10,2	11,5		250	10,6	6,0	8,3	
315	14,4	10,9	12,6		315	11,6	7,4	9,5	
400	11,0	5,4	8,2		400	9,0	3,3	6,2	
500	11,2	7,6	9,4		500	9,0	5,3	7,2	
630	13,4	12,1	12,7		630	10,8	9,7	10,2	
800	13,0	15,0	14,0		800	11,7	12,4	12,0	
1000	14,5	15,6	15,0		1000	12,9	12,2	12,5	
1250	17,3	16,0	16,6		1250	16,4	14,1	15,2	
1600	17,5	12,8	15,1		1600	16,5	11,6	14,0	
2000	16,4	12,2	14,3		2000	15,1	10,9	13,0	
2500	16,0	15,6	15,8		2500	14,7	14,1	14,4	
3150	18,4	17,3	17,9		3150	17,3	16,8	17,1	
4000	21,1	18,1	19,6		4000	20,4	17,6	19,0	
5000	21,9	20,2	21,1		5000	21,3	20,1	20,7	
$D_{v,Fd,n}$	8,0	5,7	6,8		K_{Fd}	11,2	8,0	9,6	

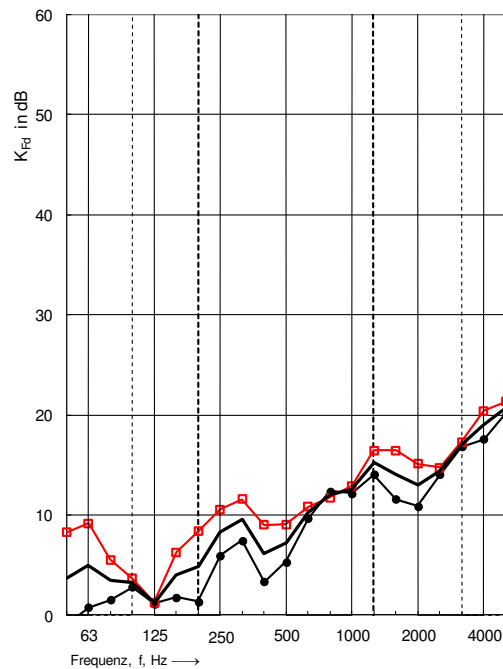
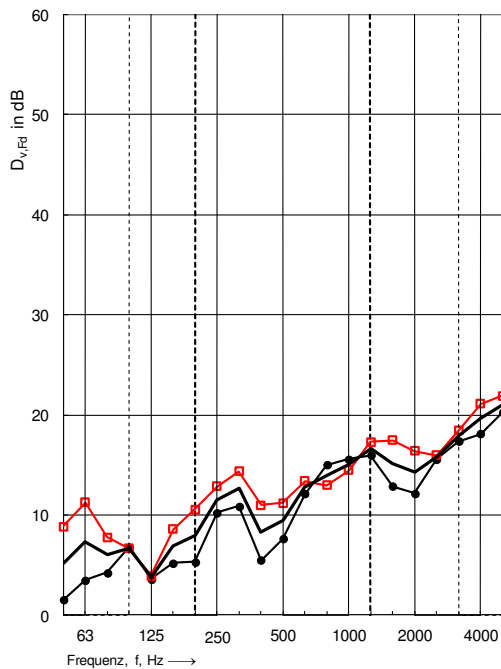
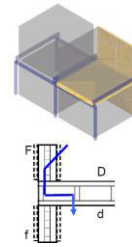


Abbildung 57 $D_{v,ij}$, K_{ij} : Vertikaler T-Stoß – Hohlkastendecke, Flanke z.T. mit Beplankung: Messdaten $D_{v,Fd}$ mit zugehörigen Messkurven (links); Messdaten K_{Fd} mit zugehörigen Messkurven (rechts)



Gesamt Verlustfaktoren der Stoßbauteile, Stoßtyp 2a_B, Übertragungsweg Fd:

Prüf.Nr.:	Flanke	Trenndecke	$\frac{m^2_{Wand}}{m^2_{Decke}}$	Abmessungen
2a_B_01	80 BSP	200 LFE	0,98	$l_{ij} = 5,0 \text{ m}$
2a_B_02	2x18 GF/140 BSP/2x18 GF	200 LFE	3,98	$S_{Dd} = 20,0 \text{ m}^2$
				$S_F = 13,5 \text{ m}^2$
				$S_I = 13,5 \text{ m}^2$



2a_B_01					2a_B_02				
f in Hz	$\eta_{tot,F}$		\bar{x}	σ	f in Hz	$\eta_{tot,d}$		\bar{x}	σ
50	0,042	0,079	0,061		50	0,070	0,070	0,070	
63	0,052	0,081	0,067		63	0,090	0,074	0,082	
80	0,058	0,064	0,061		80	0,068	0,076	0,072	
100	0,057	0,106	0,081		100	0,078	0,065	0,071	
125	0,067	0,056	0,061		125	0,046	0,049	0,048	
160	0,041	0,067	0,054		160	0,050	0,050	0,050	
200	0,038	0,083	0,060		200	0,040	0,042	0,041	
250	0,039	0,078	0,059		250	0,032	0,040	0,036	
315	0,043	0,063	0,053		315	0,030	0,027	0,028	
400	0,032	0,032	0,032		400	0,022	0,023	0,022	
500	0,032	0,030	0,031		500	0,019	0,021	0,020	
630	0,031	0,033	0,032		630	0,019	0,016	0,018	
800	0,018	0,035	0,026		800	0,014	0,013	0,014	
1000	0,019	0,041	0,030		1000	0,012	0,013	0,013	
1250	0,016	0,024	0,020		1250	0,008	0,009	0,009	
1600	0,019	0,015	0,017		1600	0,006	0,008	0,007	
2000	0,016	0,014	0,015		2000	0,006	0,007	0,007	
2500	0,015	0,015	0,015		2500	0,005	0,006	0,006	
3150	0,014	0,010	0,012		3150	0,004	0,004	0,004	
4000	0,012	0,009	0,011		4000	0,003	0,004	0,003	
5000	0,010	0,007	0,009		5000	0,003	0,003	0,003	

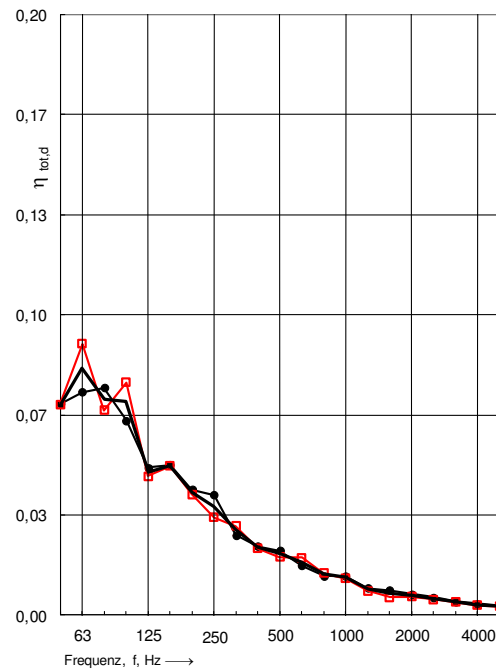
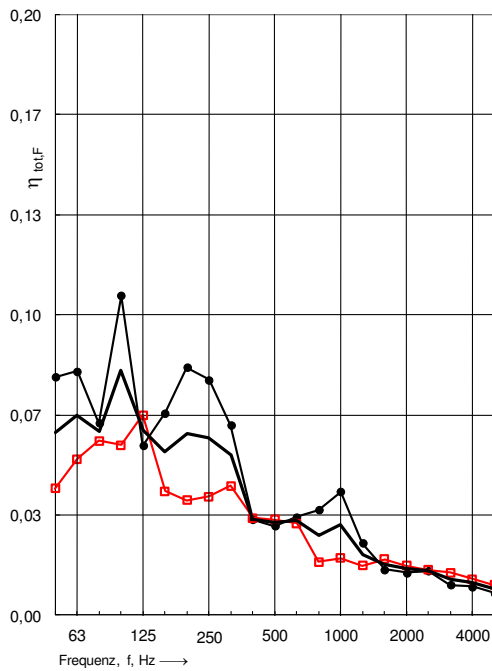
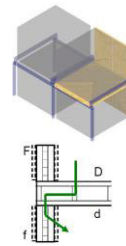


Abbildung 58 η_{tot} : vertikaler T-Stoß – Hohlkastendecke, Flanke z.T. mit Beplankung: Messdaten $\eta_{tot,F}$ mit zugehörigen Messkurven (links); Messdaten $\eta_{tot,d}$ mit zugehörigen Messkurven (rechts)

Kopplungsgrößen Stoßtyp 2a_B, Übertragungsweg Df:

Prüf.Nr.:	Flanke	Trenndecke	$\frac{m^2_{Wand}}{m^2_{Decke}}$
2a_B_01	80 BSP	200 LFE	0,98
2a_B_02	2x18 GF/140 BSP/2x18 GF	200 LFE	3,98

Abmessungen
$l_{ij} = 5,0 \text{ m}$
$S_{Dd} = 20,0 \text{ m}^2$
$S_F = 13,5 \text{ m}^2$
$S_I = 13,5 \text{ m}^2$



2a_B_01				2a_B_02					
f in Hz	$D_{v,Df}$ in dB		\bar{x}	σ	f in Hz	K_{Df} in dB		\bar{x}	σ
50	16,9	8,3	12,6		50	14,4	4,8	9,6	
63	15,6	12,4	14,0		63	12,8	8,5	10,7	
80	14,5	16,2	15,4		80	11,5	11,8	11,7	
100	14,8	16,7	15,8		100	12,1	12,5	12,3	
125	10,8	12,3	11,6		125	7,5	8,5	8,0	
160	12,3	14,5	13,4		160	9,2	9,5	9,4	
200	14,5	13,8	14,2		200	10,7	8,3	9,5	
250	19,4	17,7	18,6		250	16,1	12,9	14,5	
315	16,8	19,1	18,0		315	13,9	15,4	14,7	
400	15,5	18,1	16,8		400	12,7	14,8	13,7	
500	12,6	17,2	14,9		500	9,5	13,5	11,5	
630	15,1	14,6	14,8		630	12,6	11,4	12,0	
800	14,6	18,4	16,5		800	11,9	15,5	13,7	
1000	14,1	18,6	16,3		1000	11,3	16,1	13,7	
1250	13,1	19,3	16,2		1250	10,0	17,4	13,7	
1600	14,3	16,8	15,5		1600	11,4	16,3	13,9	
2000	13,7	17,0	15,4		2000	11,6	15,7	13,7	
2500	13,6	19,0	16,3		2500	11,8	17,8	14,8	
3150	15,1	23,7	19,4		3150	13,2	22,4	17,8	
4000	11,9	24,6	18,3		4000	9,9	24,5	17,2	
5000	16,5	29,9	23,2		5000	15,1	30,1	22,6	
$D_{v,Df,n}$	9,9	12,3	11,1		K_{Df}	12,1	13,9	13,0	

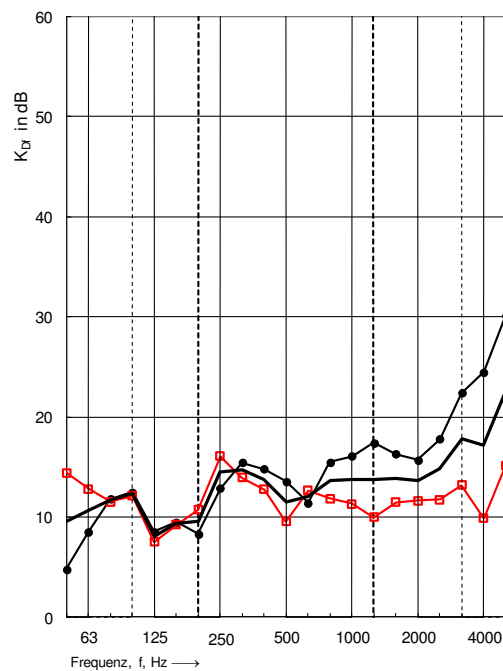
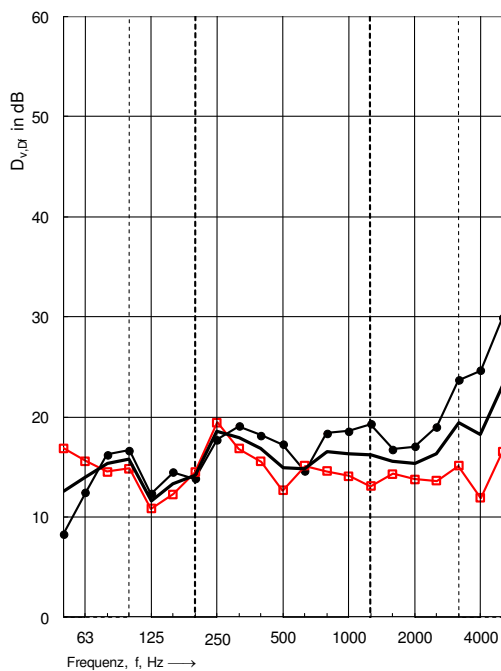
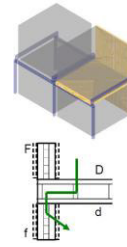


Abbildung 59 $D_{v,ij}$, K_{ij} : Vertikaler T-Stoß – Hohlkastendecke, Flanke z.T. mit Beplankung: Messdaten $D_{v,Df}$ mit zugehörigen Messkurven (links); Messdaten K_{Df} mit zugehörigen Messkurven (rechts)



Gesamt Verlustfaktoren der Stoßbauteile, Stoßtyp 2a_B, Übertragungsweg Df:

Prüf.Nr.:	Flanke	Trenndecke	$\frac{m^2_{Wand}}{m^2_{Decke}}$	Abmessungen
2a_B_01	80 BSP	200 LFE	0,98	$l_{ij} = 5,0 \text{ m}$
2a_B_02	2x18 GF/140 BSP/2x18 GF	200 LFE	3,98	$S_{Dd} = 20,0 \text{ m}^2$
				$S_F = 13,5 \text{ m}^2$
				$S_I = 13,5 \text{ m}^2$



f in Hz	$\eta_{tot,D}$		\bar{x}	σ	f in Hz	$\eta_{tot,f}$		\bar{x}	σ
50	0,099	0,115	0,107		50	0,070	0,104	0,087	
63	0,091	0,095	0,093		63	0,071	0,110	0,090	
80	0,062	0,112	0,087		80	0,089	0,095	0,092	
100	0,064	0,083	0,074		100	0,062	0,090	0,076	
125	0,056	0,050	0,053		125	0,073	0,102	0,088	
160	0,041	0,049	0,045		160	0,069	0,138	0,103	
200	0,045	0,047	0,046		200	0,070	0,148	0,109	
250	0,038	0,040	0,039		250	0,055	0,103	0,079	
315	0,028	0,028	0,028		315	0,049	0,068	0,058	
400	0,028	0,025	0,026		400	0,037	0,053	0,045	
500	0,023	0,023	0,023		500	0,040	0,053	0,046	
630	0,020	0,021	0,021		630	0,027	0,034	0,031	
800	0,014	0,015	0,014		800	0,036	0,036	0,036	
1000	0,013	0,012	0,012		1000	0,032	0,030	0,031	
1250	0,012	0,009	0,010		1250	0,032	0,023	0,028	
1600	0,009	0,006	0,007		1600	0,031	0,015	0,023	
2000	0,007	0,006	0,007		2000	0,022	0,016	0,019	
2500	0,006	0,005	0,005		2500	0,019	0,016	0,017	
3150	0,005	0,004	0,004		3150	0,019	0,016	0,017	
4000	0,004	0,003	0,003		4000	0,020	0,010	0,015	
5000	0,003	0,003	0,003		5000	0,014	0,007	0,011	

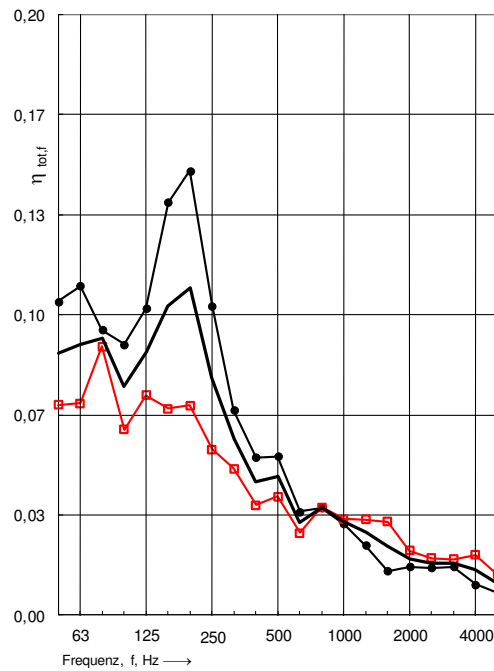
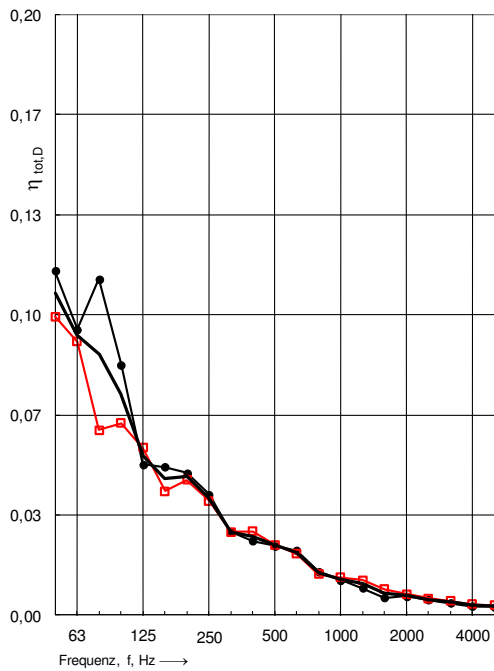


Abbildung 60 η_{tot} : vertikaler T-Stoß – Hohlkastendecke, Flanke z.T. mit Beplankung: Messdaten $\eta_{tot,D}$ mit zugehörigen Messkurven (links); Messdaten $\eta_{tot,f}$ mit zugehörigen Messkurven (rechts)